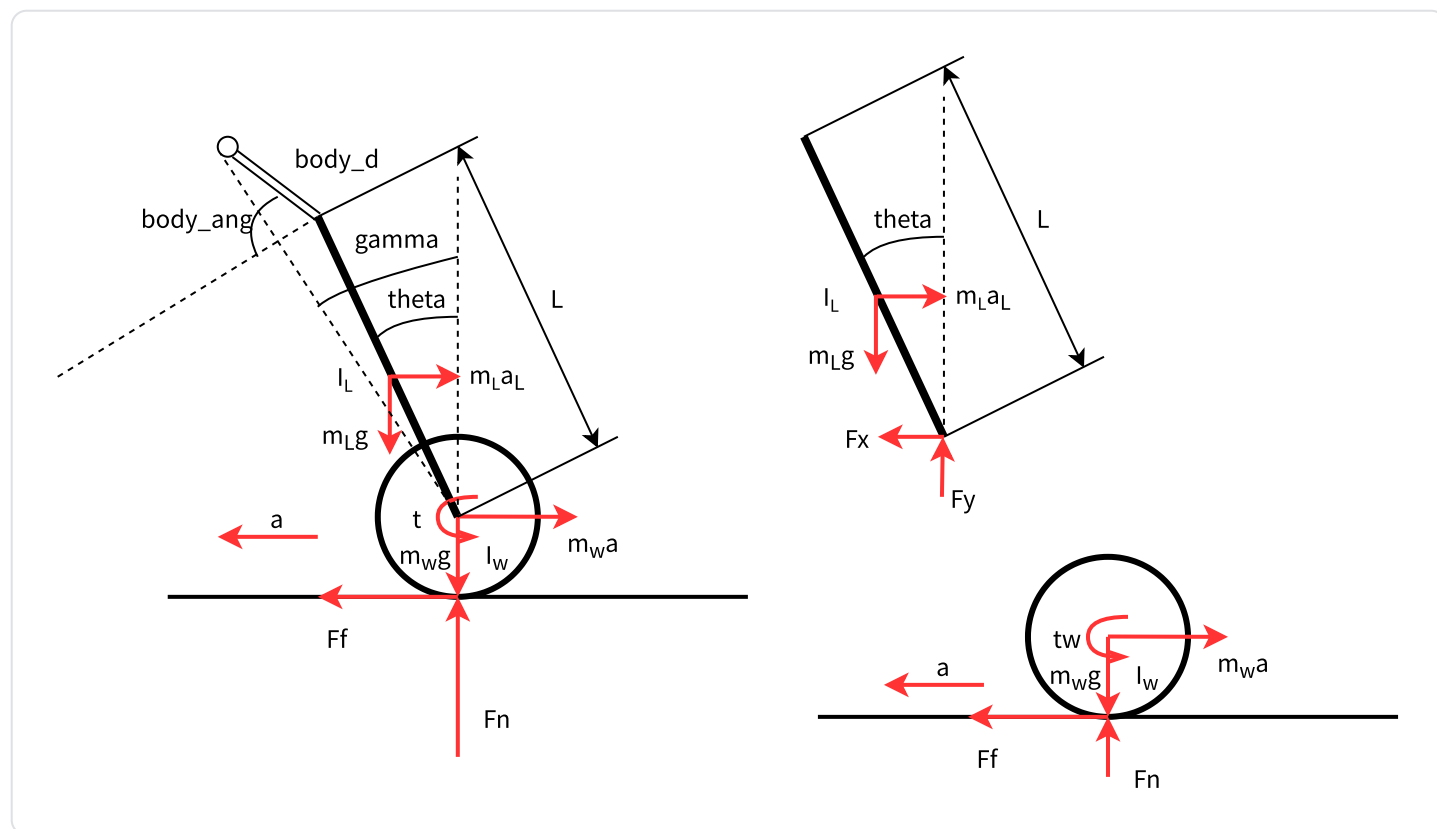


轮足机器人质心估计



质心偏移造成的影响

一直向一个方向走

首先, $\text{set_tilt} - \text{tilt} \neq 0$, 使得 balance_output 一直有数值存在。 vel_psc 也有数值的存在。由于模型不准, 控制器有差, 从而出现局部收敛的情况。

比如: tilt 不准, 那么在 $\text{vel_error} = 0, \text{tilt_error} = 0$ 的时候, $\text{vel_output} = 0, \text{balance_output} = 0$, 但由于此时, 实际的 $\text{tilt_error} \neq 0$, 所以机器人无法进入真实的稳态。进而, 收敛到别的稳态上面, 只需 $\text{vel_error} + \text{balance_error} = 0$, 即可进入稳态, 机器人也就会一直往前走。

问题建模

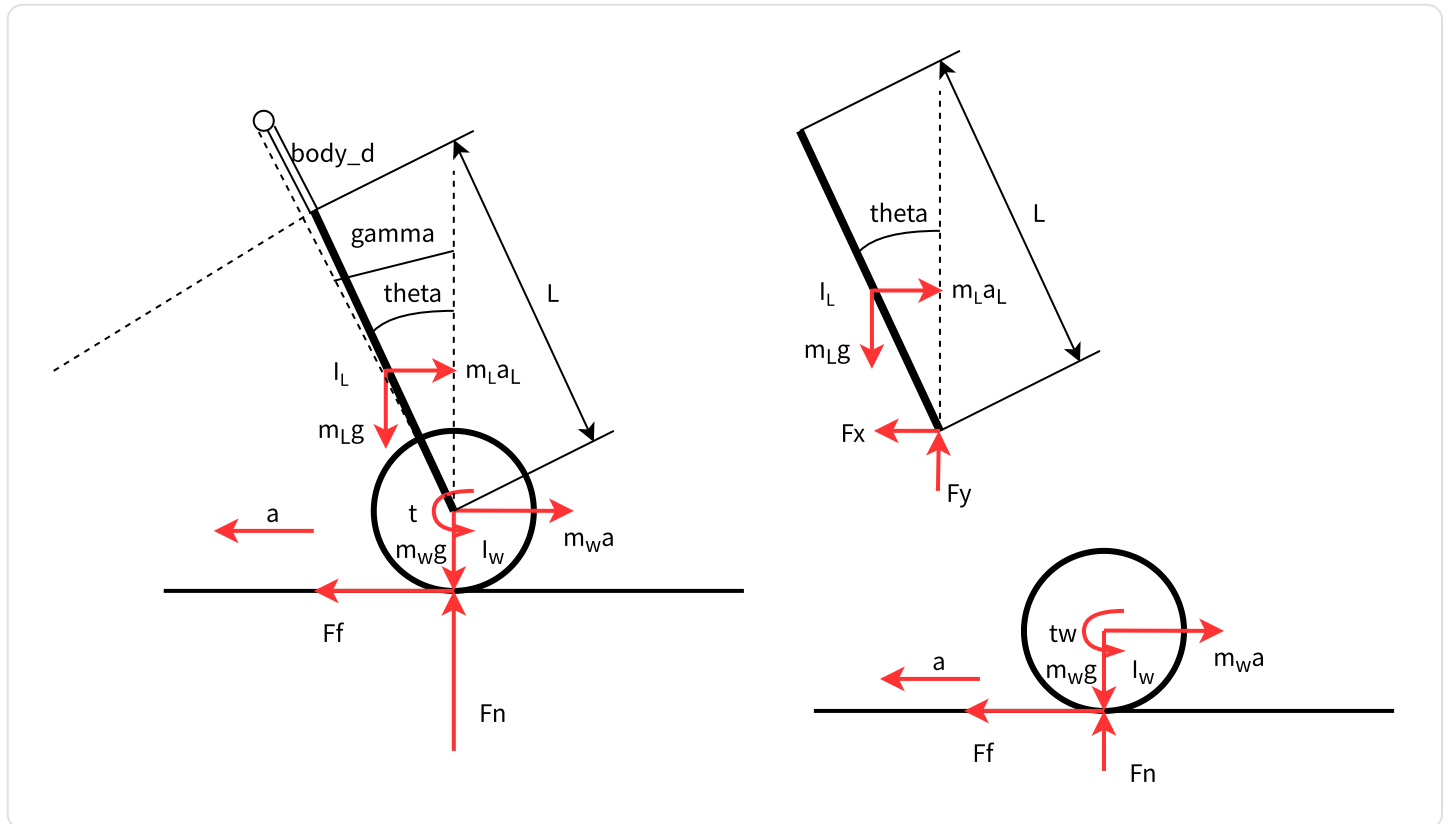
沿用: <https://ehooj45utb.feishu.cn/docx/HO3Nd9a1Dos7VpxlkO2cvfLYnhd> 当中的思路, 会发现, 模型非线性度非常高。

tilt 和 d_tilt 的计算都需要进行变更。

仅考虑平地的状况，引入未知质心，尝试获得该质心所在的位置。假设质心方向沿杆分布。

在原A1代码中，其辨识的逻辑是，依赖机器人自身的稳定性，在机器人达到稳态的时候，读取当前的tilt和pitch，并计算出body_ang和body_d。

为什么普通平衡车不太需要考虑质心问题



因为 theta （即tilt）的变化不随质心的位置变化而变化，因此并不需要特地去观测z坐标的位置。只要有一套还不错的LQR参数出来即可。

如果仔细考察上述模型，尝试在动力学模型的层面去观测质心的z坐标。在静态的时候无法辨识，但在动态的时候可以辨识出来，有点像电机的无感控制。（demo： 机器人拆装不同的机械臂的时候，都可以实现抓取时时，车轮不怎么动）

$$(m_L + m_w + \frac{I_w}{r^2})a + m_L L \ddot{\theta} = \frac{\tau_w}{r} \dots (10)$$

... (13)

$$\ddot{\theta} = \frac{\tau_w}{r} - \frac{(m_L + m_w + \frac{I_w}{r^2})a}{m_L(L + d)} \dots (20)$$

$$\dot{x}_2 = \frac{\tau_w}{r} - \frac{(m_L + m_w + \frac{I_w}{r^2})a}{m_L} x_3 \dots (21)$$

实际上稳态的时候 $\frac{\tau}{L_\gamma} = m_L g \sin \theta$ 不能这样估计，没办法同时满足两个方程

- 由轮子受力： $(m_L + m_w + \frac{I_w}{r^2})a + m_L L \ddot{\theta} = \frac{\tau_w}{r}$
- 由连杆受力： $m_L L a + (m_L L^2 + I_L) \ddot{\theta} = m_L g L \theta - \tau_w$

$$b_1 = \left(-\frac{1}{I_L + L^2 m_L} - \frac{1}{r} \right)$$

$$b_2 = \frac{m_L L \frac{b_1}{a_1} - 1}{m_L^2 * L + I_L^2}$$

$$a_1 = \left(\frac{m_L + m_w + \frac{I_w}{r^2}}{L m_L} - \frac{m_L L}{I_L + L^2 m_L} \right)$$

$$a_2 = \frac{L g m_L}{I_L + L^2 m_L}$$

$$a_3 = \frac{(m_L + m_w)g}{m_L L}$$

$$a_4 = \frac{m_L g L + m_L L \frac{a_2}{a_1}}{m_L * L^2 + I_L}$$

$$a_5 = \frac{m_L L \frac{a_3}{a_1}}{m_L * L^2 + I_L}$$

$$-\frac{b_1}{a_1} = \frac{\left(\frac{1}{I_L+L^2 m_L} + \frac{1}{r}\right)}{\left(\frac{m_L+m_w+\frac{I_w}{r^2}}{L m_L} - \frac{m_L L}{I_L+L^2 m_L}\right)}$$

总结一下：

$$\dot{x_2} = b_2 * u + a_4 * x_1 \ldots(26)$$

$$\dot{x_4} = -\frac{b_1}{a_1}u - \frac{a_2}{a_1}x_1 \ldots(25)$$

$$\dot{x_5} = 0$$

$$\mathbf{f}(\mathbf{x})$$

鲁棒观测器： v的观测值一定为0。

$$\dot{x} = f(x) + g(x)u + G(\hat{x}, u, y)[y - h(\hat{x})]$$

$$y = h(x)$$

无感控制中，选择了使用梯度下降的算子来作为增益。增益最好保证数值都可测

$$\frac{\gamma}{4}\nabla h(x,t)$$

$$\dot{\hat{x}} = y_{12} + \frac{\gamma}{4}\nabla_{\hat{x}}\bar{h}(\hat{x},t)\left[y_3 - \bar{h}(\hat{x},t)\right] \tag{8}$$

离线辨识

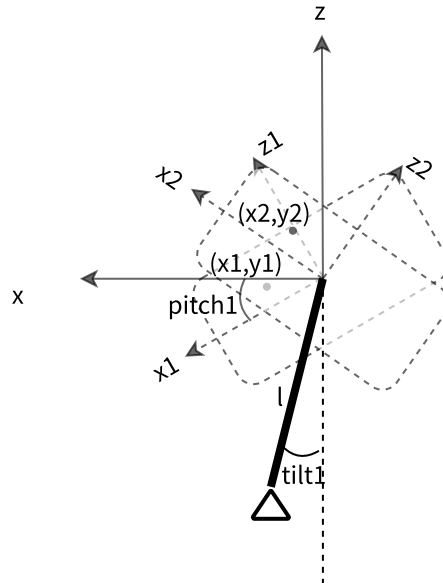
大概的模型如下所示，已知机器人在静稳定时，重心沿重力方向投影应落在地面接触点上。假设头部重心位于头部的世界坐标系的位置为 (x,y) ，满足：

$$x = -l\sin(tilt)$$

假设机器人头部 $pitch$ 在两个不同角度 $pitch1, pitch2$ 时，对应有机器人质心位置在世界坐标系的位置为 $(x1,y1), (x2,y2)$ 。

令 $\Delta p = pitch2 - pitch1$ ，满足变换：

$$\begin{bmatrix} \cos(\Delta p) & -\sin(\Delta p) \\ \sin(\Delta p) & \cos(\Delta p) \end{bmatrix} \begin{bmatrix} x1 \\ y1 \end{bmatrix} = \begin{bmatrix} x2 \\ y2 \end{bmatrix}$$



可直接拿到tilt, pitch以及腿长l的数据，即x1,x2可直接根据tilt, pitch和腿长l计算得到。由矩阵可计算得到

$$y1 = \frac{\cos(\Delta p)x1 - x2}{\sin(\Delta p)}$$

质心偏离轴心位置，在极坐标系中，有

$$\rho = \sqrt{x1^2 + y1^2}$$

$$\theta = \text{atan}(x1, y1) + \text{pitch1}$$

? Q: 这里是否考虑了腿部质量带来的质心偏移问题?

在线辨识

NESO鲁棒控制器：保证机器人能收敛到稳态。

非线性观测器

解决这个问题，1. 加积分可以解决 2. 让模型变准 3.鲁棒控制

因而，首先要把模型弄准一点；其次，使用鲁棒控制消除误差（最简单的鲁棒控制：积分控制，即方法1）

和split-tilt控制的差异：对任意状态(split,tilt)都是稳态，通过输出planning不会导致机器人失稳，只影响split tilt的响应特性。而系统(balance,vel)并非任意配置都是稳态，输出planning可能会导致系统失去稳定。

body_ang, body_d未知,统一由

$$\theta = -\sin^{-1}\left(\frac{x}{L}\right)$$

$$L_{\gamma} = \sqrt{(d^2 + L^2 + 2 * d * L * \sin(body_{ang}))}$$

1. 轮子受力分析

$$F_f - F_x = m_w a \quad \dots (1)$$

$$F_N - F_y = 0 \quad \dots (2)$$

$$\tau_w - F_f r = I_w \alpha \quad \dots (3)$$

$$a = \alpha r \quad \dots (4)$$

2. 连杆受力分析

$$F_x = m_L \ddot{x}_L = m_L \left(a + \frac{d^2}{dt^2} (L_{\gamma} \sin \gamma) \right) \quad \dots (5)$$

$$F_y = m_L \ddot{y}_L = m_L \frac{d^2}{dt^2} (L_{\gamma} \cos \gamma) \quad \dots (6)$$

$$-\tau + F_y L_{\gamma} \sin \gamma - F_x L_{\gamma} \cos \gamma = I_L \ddot{\gamma} \quad \dots (7)$$

$$\gamma = \theta + a \sin\left(\frac{d * \cos(body_{ang})}{L}\right)$$

body_ang和d认为时不变，因此

$$\dot{\gamma} = \dot{\theta}$$

同时，由于杆长变化较慢或不变，因此

$$\dot{L}_{\gamma} = 0$$

第一部分

将式(1)代入式(3)，得到

$$\tau_w - (m_w a + F_x)r = I_w(a/r) \dots (8)$$

将式(5)代入式(8)，

$$\frac{\tau_w}{r} - (m_w a + (m_L(a + \frac{d^2}{dt^2}(L_\gamma \sin \gamma))) + (m_w * g)) = I_w(\frac{a}{r^2}) \dots (9)$$

将式(9)进行线性化处理

$$(m_L + m_w + \frac{I_w}{r^2})a + m_L L_\gamma \ddot{\gamma} = \frac{\tau_w}{r} \dots (10)$$

静态状况下：

$$\tau_w = 0 \dots (11)$$

第二部分

将式(5)(6)代入式(7) 【不变】

$$-\tau + (m_L \frac{d^2}{dt^2}(L \cos \gamma) + m_L g)L_\gamma \sin \gamma - (m_L(a + \frac{d^2}{dt^2}(L_\gamma \sin \gamma)))L_\gamma \cos \gamma = I_L \ddot{\gamma} \dots (12)$$

对式(12)进行线性化处理：

$$-\tau + (m_L g)L_\gamma \sin \gamma - (m_L(a + L_\gamma \ddot{\gamma}))L_\gamma \cos \gamma = I_L \ddot{\gamma} \dots (13)$$

考虑静态的状况：

$$\gamma = \theta - a \sin(\frac{d * \cos(body_{ang})}{L}) = 0 \dots (13.1)$$

$$\theta = -a \sin(\frac{d * \cos(body_{ang})}{L}) \dots (14)$$

暴露出一个问题：静态下，二元一次方程

$$\theta = -a \sin(\frac{d * \cos(body_{ang})}{L})$$

1. 需要有两个以上的 θ 角，才能解这个二元一次方程，但对于一阶倒立摆系统，仅有唯一 θ 使系统达到稳定。因此对于一阶倒立摆系统，无法在静态下获取d和body_ang。
2. 但是，对于可变高度一阶倒立摆系统（L不同），以及二阶倒立摆系统，由于可以获得不同的tilt角，进而得到n个方程，因此，依然有办法算出body_ang和body_d。
3. 还有一个特征，当出现 分子大于分母的时候，**静态方程(14)无解**，即对一阶倒立摆系统以及可变高度一阶倒立摆系统，永远到达不了系统稳态，从而，无法在静态状况下估计出d和body_ang。

考虑带加速度计的情况：

$$-\tau + (m_L g)L_\gamma \sin \gamma - (m_L a)L_\gamma \cos \gamma = 0 \quad \dots (13.2)$$

线性化

$$\gamma = \frac{(m_L a)L_\gamma + \tau}{(m_L g)L_\gamma} \quad \dots (15)$$

这里揭示了两点：

1. 即便在有加速度的情况下，依然需要多个加速度状态下的配置才能拿到d和body_ang。
2. 根据(15)，可以得到

$$a = \frac{(m_L g)L_\gamma \gamma - \tau}{m_L L_\gamma}$$

这意味着：如果我们是二阶倒立摆，且我们期望通过头部控制来实现机器人加速（即零后移加速），则这里揭示了机器人前进加速度和 γ 之间的关系，**是我们零后移控制机器人加速度的基础**。此外这还意味着，只需要进行机器人头部的位置控制，即可实现机器人的加速度控制。

我们仍要解决质心估计的问题。尝试使用状态观测器进行观测。

状态变量选取

$$x_1 = \text{tilt}, x_2 = d_{\text{tilt}}, x_3 = x, x_4 = d_x, x_5 = L_\gamma, x_6 = \gamma$$

输出变量选取：

$$y_1 = \text{tilt}, y_2 = d_{\text{tilt}}, y_3 = x, y_4 = d_x$$

输入变量

$$u = \tau$$

由式(10):

$$(m_L + m_w + \frac{I_w}{r^2})a + m_L L_\gamma \ddot{\gamma} = \frac{\tau_w}{r} \quad \dots (10)$$

得到

$$\ddot{\gamma} = \frac{\tau_w}{r} - \frac{(m_L + m_w + \frac{I_w}{r^2})a}{m_L L_\gamma} \quad \dots (20)$$

$$\dot{x}_2 = \frac{\tau_w}{r} - \frac{(m_L + m_w + \frac{I_w}{r^2})a}{m_L x_6} \quad \dots (21)$$

由式(13)

$$-\tau + (m_L g)L_\gamma \sin \gamma - (m_L (a + L_\gamma \ddot{\gamma}))L_\gamma \cos \gamma = I_L \ddot{\gamma} \quad \dots (13)$$

进一步线性化

$$-\tau + (m_L \gamma g) L_\gamma \gamma - (m_L(a + L_\gamma \ddot{\gamma})) L_\gamma = I_L \ddot{\gamma} \dots (14)$$

于是,进一步线性化

$$\frac{-u}{I_L} + \frac{(m_L g) L_\gamma \gamma}{I_L} - \frac{m_L L_\gamma \dot{x}_4}{I_L} = \frac{m_L L_\gamma^2 + I_L}{I_L} \dot{x}_2$$

于是，将 (21) 代入 (24)

$$\frac{-u}{I_L} + \frac{(m_L g) x_6 \gamma}{I_L} - \frac{m_L L_\gamma \dot{x}_4}{I_L} = \frac{m_L x_6^2 + I_L}{I_L} \left(\frac{\tau_w}{r} - \frac{(m_L + m_w + \frac{I_w}{r^2}) a}{m_L x_6} \right)$$

是关于状态变量 x_6 的强非线性项，可能需要设计非线性观测器来求解，总体求解过程变得非常的麻烦。

因此，利用二阶倒立摆的特性，分阶段辨识当前质心位置。

阶段一：机器人起立

通过逐渐增加的电机顶起力矩，粗测得负载质量

通过hip锁止力矩的大小粗判定质心在x方向上的坐标，并假定y = 0。

通过阶段一，可以粗判定机器人质心的x坐标。

通过粗测后，可建立这样一条假设，即 $\gamma \approx \theta$,此时，想办法观测 L_γ 即可

于是： $L_\gamma = L + d$,状态变量修改为

$$x_1 = tilt, x_2 = d_{tilt} = d_x, x_3 = \frac{1}{L + d}$$

由式(10):

$$(m_L + m_w + \frac{I_w}{r^2}) a + m_L (L + d) \ddot{\theta} = \frac{\tau_w}{r} \dots (10)$$

得到

$$\ddot{\theta} = \frac{\tau_w}{r} - \frac{(m_L + m_w + \frac{I_w}{r^2}) a}{m_L (L + d)} \dots (20)$$

$$\dot{x}_2 = \frac{\tau_w}{r} - \frac{(m_L + m_w + \frac{I_w}{r^2}) a}{m_L} x_3 \dots (21)$$

$$b_1 = \frac{1}{r}$$

$$a_1 = \frac{(m_L + M_w + \frac{I_w}{r^2})a}{m_L}$$

$$\dot{x} = \begin{bmatrix} 0 & 1 & 0 \\ 0 & 0 & -a_1 \\ 0 & 0 & 0 \end{bmatrix} x + \begin{bmatrix} 0 \\ b_1 \\ 0 \end{bmatrix} u$$

$$y = \begin{bmatrix} 1 & 0 & 0 \\ 0 & 1 & 0 \\ 0 & 0 & 0 \end{bmatrix} x$$

阶段二：头抬到不同角度

阶段3：实时质心跟踪

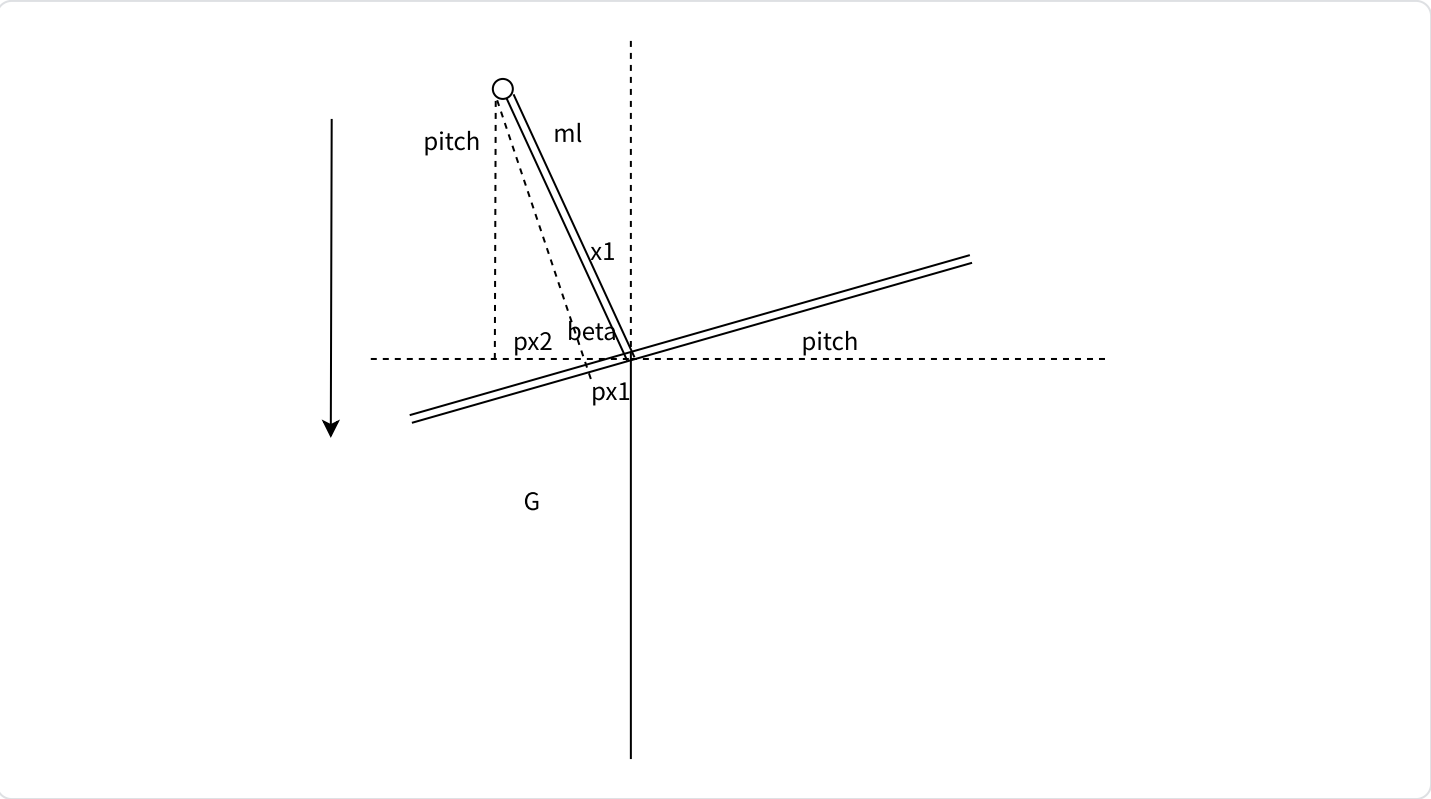
根据**外力检测**调整质心的x轴，因为更实时

根据腿部周期调整z轴质心

整体质心更新周期会比较慢。

在未知上半身负载的情况下，依赖自身鲁棒性，可以达成不失衡的目的。

假设质心在转轴正上方



$$\tau - m * g * (p_{x1} + p_{x2}) = 0$$

p_{x1} 已知

$$\beta = atan(\frac{(p_{x1} + p_{x2})tan(pitch)}{p_{x2}}) + pitch$$

整理得

$$\dot{x_1} = x_2$$

$$\dot{x_2} = \frac{\tau}{m_l * x_3^2} - \frac{m * g * x_3 * sin(x_1)}{m_l * x_3^2}$$